

**DETECCIÓN E IDENTIFICACIÓN DE  
*Salmonella enterica* subsp. *enterica*  
EN ALIMENTOS MEDIANTE CRISPR-PCR**

**MASTER EN GESTIÓN Y SEGURIDAD ALIMENTARIA**

Navarro Brotons, Natalia

Director: Dr. Francisco J. Martínez Mojica  
Universidad de Alicante

Tutor: Dra. Ana González Pellicer  
Universidad Politécnica de Valencia

# **DETECCIÓN E IDENTIFICACIÓN DE *Salmonella enterica* subsp. *enterica* EN ALIMENTOS MEDIANTE CRISPR-PCR**

N. Navarro, F.J. Martínez Mojica<sup>1</sup>, A. González Pellicer<sup>2</sup>

## **RESUMEN**

La epidemiología de *Salmonella enterica* se ha estudiado utilizando diversos métodos de tipado molecular entre los que se incluyen PFGE (Pulsed-Field Gel Electrophoresis) y MLST (Multiple-Locus Sequence Typing). El uso de genes de virulencia y secuencias repetidas CRISPR (Clustered Regularly Interspaced Short Palindromic Repeat) como marcadores genéticos en esquemas MLST ha permitido una mejor diferenciación e identificación de *S. enterica* subsp. *enterica* comparado con PFGE. *Salmonella* spp. posee un único sistema CRISPR/CAS el cual incluye dos agrupaciones de repeticiones, CRISPR1 y CRISPR2.

El objetivo principal de este estudio es poner a punto un método de detección e identificación de *Salmonella enterica* subsp. *enterica* en alimentos basado en amplificación por PCR de agrupaciones CRISPR. Para ello han sido analizadas 67 cepas de *S. enterica* subsp. *enterica*, incluyendo un mayor porcentaje de aquellos aislados pertenecientes a los dos serotipos principales (*Thyphimurium* y *Enteritidis*). La agrupación CRISPR1 se confirmó como una diana adecuada para este fin.

La amplificación por PCR de la agrupación CRISPR1 (CRISPR1-PCR) permitió detectar niveles de *S. enterica* subsp. *enterica* inferiores a 10 ufc en muestras de alimento, estableciéndose un procedimiento de análisis mixto, que incluye una etapa inicial de enriquecimientos por cultivo, seguida de la amplificación de dicha agrupación y análisis electroforético del producto obtenido. Como alimento a analizar se utilizó mayonesa por su gran incidencia como vehículo de este tipo de infecciones.

**PALABRAS CLAVE:** *Salmonella*, CRISPR/CAS, PCR, Tipado Molecular.

## **RESUM**

L' epidemiologia de *Salmonella enterica* s' ha estudiat utilitzant diversos mètodes de tipat molecular entre els que s'inclouen PFGE (Pulsed-Field Gel Electrophoresis) i MLST (Multiple-Locus Sequence Typing). L'ús de gens de virulència i seqüències repetides CRISPR (Clustered Regularly Interspaced Short Palindromic Repeat) com a marcadors genètics en esquemes MLST ha permés una millor diferenciació i identificació de *S. enterica* subsp. *enterica* comparat amb PFGE. *Salmonella* spp. posseeix un únic sistema CRISPR/CAS el qual inclou dos agrupacions de repeticions, CRISPR 1 i CRISPR 2.

<sup>1</sup> Departamento de Fisiología, Genética y Microbiología. Universidad de Alicante.

<sup>2</sup> Departamento de Biotecnología. Universidad Politécnica de Valencia.

L'objectiu principal d'aquest estudi és posar a punt un mètode de detecció i identificació de *Salmonella enterica* subsp. *enterica* en aliments basat en amplificació per PCR d'agrupacions CRISPR. Per a això han sigut analitzades 67 soques de *S. enterica* subsp. *enterica*, incloent un major percentatge d'aquells aïllats pertanyents als dos serotips principals (*Thyphimurium* i *Enteritidis*). L'aplicació CRISPR 1 es va confirmar com una diana adequada per a aquesta fi.

L'amplificació per PCR de l'agrupació CRISPR1 (CRISPR1-PCR) va permetre detectar nivells de *S. enterica* subsp. *enterica* inferiors a 10 ufc en mostres d'aliment, establint-se un procediment d'anàlisi mixta, que inclou una etapa inicial d'enriquiments per cultiu, seguida de l'amplificació d'aquesta agrupació i anàlisi electroforètic del producte obtingut. Com a aliment a analitzar es va utilitzar maionesa per la seua gran incidència com a vehicle d'aquest tipus d'infeccions

PARAULES CLAU: *Salmonella*, CRISPR/CAS, PCR, Tipat Molecular.

## ABSTRACT

The epidemiology of *Salmonella enterica* has been studied using several molecular subtyping methods, including PFGE (Pulsed-Field Gel Electrophoresis) and MLST (Multiple-Locus Sequence Typing). The use of virulence genes and CRISPR (Clustered Regularly Interspaced Short Palindromic Repeat) as genetic markers in a MLST scheme has allowed a better differentiation and identification of *S. enterica* subsp. *enterica* than PFGE approaches. *Salmonella* spp. has one CRISPR/CAS system including two clusters of repeats, CRISPR1 and CRISPR2.

The main objective of this research is to set up a new method for detection and identification of *Salmonella enterica* subsp. *enterica* in food based on PCR amplification of CRISPR clusters. A total of 67 strains of *S. enterica* subsp. *enterica* have been analyzed including a higher percentage of isolates belonging to the main serotypes (*Thyphimurium* and *Enteritidis*). CRISPR1 was confirmed as a suitable target for this purpose.

PCR amplification of CRISPR1 (CRISPR1-PCR) allowed the detection of *S. enterica* subsp. *enterica* at levels under 10 cfu in food samples. Eventually, a mixed-analysis procedure was established, including an initial stage of enrichments by culture, followed by amplification and electrophoretic analysis of the PCR product. Mayonnaise was the food of choice due to its high incidence as a vehicle of this type of infection.

KEYWORDS: *Salmonella*, CRISPR/CAS, PCR, Molecular Typing.

## INTRODUCCIÓN

### Características generales del género *Salmonella*

El género *Salmonella* está formado por bacterias Gram negativas pertenecientes a la familia *Enterobacteriaceae*. Son bacilos, oxidasa negativas, la mayoría son móviles y fermentan glucosa con producción de ácido y gas (Ellermeier y Slauch, 2006). El tratamiento taxonómico actual de *Salmonella* spp. agrupa todas las cepas (patógenas o no) en tres especies *S. enterica*, *S. subterranea* (Shelobolina *et al.*, 2004) y *S. bongori* (<http://www.ncbi.nlm.nih.gov/Taxonomy/>). La especie *S. enterica* consta de seis subespecies (*enterica*, *salamae*, *arizonaee*, *diarizonae*, *houtenae* e *indica*).

*Salmonella enterica* subsp. *enterica* se divide en cinco serogrupos, que a su vez comprenden múltiples serotipos. Su hábitat principal es el tracto intestinal de animales de sangre caliente. Las cepas de *Salmonella* que afectan con más frecuencia al hombre, produciendo un tipo de gastroenteritis conocida como salmonellosis no tifoidea, pertenecen a esta subespecie, siendo *Thyphimurium* y *Enteritidis* los serotipos prevalentes.

### Identificación molecular de *Salmonella*

La epidemiología de *Salmonella enterica* se ha estudiado utilizando diversos métodos de tipado molecular, entre los que se incluyen MLVA (Multiple-Locus Variable-number tandem-repeat Analysis), MLST (Multiple-Locus Sequence Typing) y PFGE (Pulsed-Field Gel Electrophoresis). PFGE es actualmente el método más utilizado por los laboratorios de salud pública para el rastreo de patógenos alimentarios del género *Salmonella*. Sin embargo, su poder de discriminación es muy limitado en el caso de serotipos altamente clonales como *S. enterica* subsp. *enterica* serovar *Enteritidis*. En este caso particular, MLVA muestra un mayor poder discriminatorio que PFGE, aunque excepcionalmente algunas cepas que tienen el mismo tipado por MLVA se resuelven por PFGE. Por su parte, el método MLST, basado en diferencias en las secuencias de nucleótidos en varios lugares del DNA, genera una gran cantidad de información altamente reproducible. Durante la redacción de esta memoria, una vez finalizado el trabajo experimental, se ha publicado un artículo (Liu *et al.*, 2011) en el que se evalúa el uso de genes de virulencia y secuencias CRISPR (Clustered Regularly Interspaced Short Palindromic Repeats) como marcadores genéticos en esquemas MLST, demostrando una mejor diferenciación e identificación de *S. enterica* subsp. *enterica* comparado con PFGE.

### Los sistemas CRISPR/CAS

Las secuencias repetidas CRISPR fueron originalmente identificadas en el dominio Bacteria (Ishino *et al.*, 1987) y posteriormente en Archaea (Mojica *et al.*, 1993). Tras la detección de secuencias con una organización similar en una veintena de genomas procarióticos pertenecientes a diversos grupos

taxonómicos, se reconocieron en el año 2000 (Mojica *et al.*, 2000) como miembros de una nueva familia de repeticiones de DNA cortas y regularmente espaciadas que se denominó SRSR (Short Regularly Spaced Repeats). Posteriormente, estas secuencias se renombraron con el actual acrónimo de CRISPR (Jansen *et al.*, 2002).

Las repeticiones CRISPR tienen un tamaño comprendido entre 21 y 47 pb (Godde y Bickerton, 2006; Grissa *et al.*, 2007) estando intercaladas por secuencias de tamaño más o menos constante, denominadas espaciadores, que según el sistema oscilan entre 20 y 72 pb (Grissa *et al.*, 2007; Mojica *et al.*, 2000).

La diversidad de secuencia de las repeticiones CRISPR es muy elevada, pudiéndose distinguir más de 12 subtipos en base a la misma (Kunin *et al.*, 2007). La mayor parte de las agrupaciones CRISPR poseen en un extremo una región rica en adeninas y timinas denominada *leader* (Jansen *et al.*, 2002; Mojica *et al.*, 2000).

Tras la descripción de esta familia de repeticiones se identificaron los genes *cas* (CRISPR associated) asociados a estas repeticiones (Jansen *et al.*, 2002). Hasta la fecha se han descrito entre 25 y 45 familias de proteínas Cas diferentes (Haft *et al.*, 2005; Makarova *et al.*, 2006). Atendiendo a la composición y organización de las agrupaciones de los genes *cas*, los sistemas CRISPR/CAS se clasifican en 3 tipos (I, II y III) con varios subtipos cada uno (Makarova *et al.*, 2011).

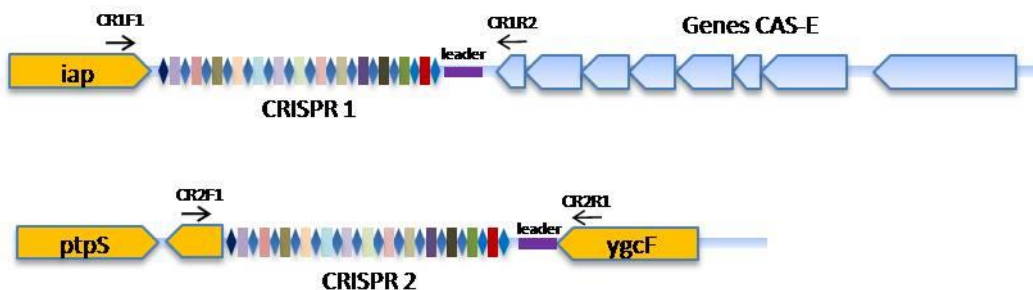
Un sistema CRISPR/CAS típico está constituido por una o varias agrupaciones de unidades CRISPR-espaciador, con una secuencia *leader* adyacente a cada una de dichas agrupaciones y una única dotación de genes *cas* asociados.

La función biológica de los sistemas CRISPR/CAS fue desvelada en el año 2007 mediante experimentos llevados a cabo con la bacteria *Streptococcus thermophilus*, donde se constató la inserción de nuevos espaciadores durante la infección por un fago, procedentes del genoma del virus, y la adquisición de inmunidad específica frente a dicho virus como consecuencia de la presencia de los nuevos espaciadores (Barrangou *et al.*, 2007). Estos resultados indican que los sistemas CRISPR/CAS constituyen un sistema que interfiere en la transmisión de elementos genéticos extracromosómicos. Para ello el sistema debe incorporar algún espaciador idéntico (o similar) a una secuencia del elemento invasor (denominada proto-espaciador), que le serviría en una posterior entrada para su reconocimiento. Esta función se ha confirmado en multitud de trabajos posteriores (ver revisión reciente en Makarova *et al.*, 2011).

### **El sistema CRISPR/CAS de *Salmonella* spp.**

*Salmonella* spp. posee un único sistema CRISPR/CAS (Touchon y Rocha, 2010), perteneciente al subtipo I-E (Makarova *et al.*, 2011). El sistema incluye dos agrupaciones de repeticiones que denominamos CRISPR1, localizada a 20 pb del extremo 3' del gen *iap* y CRISPR2, localizada a unas 16 kb de la primera, corriente abajo del gen *ygcF*. Las unidades repetidas tienen normalmente un tamaño de 29 pb y los

espaciadores de 32 pb. En el caso de CRISPR1 se ha identificado una secuencia *leader* en el extremo opuesto al gen *iap*, y en el caso de CRISPR2 en el extremo próximo a *ygcF*. Junto a la *leader* de la agrupación CRISPR1 se encuentran 8 genes *cas* (denominados en conjunto CAS-E) en la disposición *cas2-cas1-cse3-cas5e-cse4-cse2-cse1-cas3* (figura1).



**FIGURA 1.** Representación esquemática del sistema CRISPR/CAS de *Salmonella* spp. Se muestran las dos agrupaciones CRISPR (CRISPR1 y CRISPR2), constituidas por repeticiones (rombos) separadas por espaciadores (rectángulos), las regiones *leader* y los genes *cas* (rectángulos azules, apuntando en la dirección de transcripción). La localización de los cebadores utilizados para las amplificaciones por PCR (Polimerase Chain Reaction) de las regiones CRISPR se señala mediante flechas.

## MATERIALES Y MÉTODOS

### Cepas

En este trabajo han sido analizadas 67 cepas de *Salmonella enterica* subsp. *enterica*, suministradas por laboratorios LABAQUA S.A (cepa S43) y el Hospital General Universitario de Elche (resto de cepas). En la tabla 1 se relacionan los serotipos correspondientes a cada una de ellas, y el código asignado para su identificación.

Las cepas se conservaron a -80°C en medio LB con glicerol al 30 %.

**TABLA 1.** Serotipos correspondientes a cada una de las cepas de *Salmonella enterica* subsp. *enterica* analizadas

<b>Thyphimurium</b>		<b>Enteritidis</b>	
T01		E01	
T02		E02	
T03		E03	
T04		E04	
T05		E05	
T06		E06	
T07		E07	
T08		E08	
T09		E09	
T10		E10	
T11		E11	
T12		E12	
T13		E13	
T14		E14	
T15		E15	
T16			
T17		Z01	
T18			
T19		Z02	
T20			
T21		Z03	
T22			
T23			
T24			
T25			
T26			
T27			
T28			
T29			
T30			
T31			
T32			
T33			
T34			
T35			
T36			
T37			
T38			
T39			
T40		S43	

## Soluciones y medios de cultivo

Las soluciones y medios de cultivo se prepararon a partir de sus componentes deshidratados, suministrados por Laboratorios Conda, S.A., siguiendo las instrucciones del fabricante.

La composición de los distintos medios de cultivo utilizados se detalla a continuación.

LB (g/l)

Triptona	10
Extracto de levadura	5
NaCl	10

### AGAR ENTÉRICO HEKTOEN (g/l)

Proteosa peptona	12
Extracto de levadura	3
Sales biliares	9
Lactosa	12
Sacarosa	12
Salicina	2
Cloruro de sodio	5
Tiosulfato de sodio	5
Citrato de sodio y amonio	1,5
Agar	14
Azul de bromotimol	0,065
Fucsina ácida	0,1

### RAPPAPORT VASSILIADIS (g/l)

Peptona de soja	5
Cloruro sódico	8
Potasio di-hidrógeno fosfato	1,6
Cloruro magnésico	40
Verde de malaquita	0,04

### AGAR NUTRITIVO (g/l)

Extracto de carne	1
Extracto de levaduras	2
Peptonas	5
Cloruro sódico	5
Agar	15

### CALDO NUTRITIVO (g/l)

Extracto de carne	1
Extracto de levaduras	2
Peptonas	5
Cloruro sódico	5

### AGUA PEPTONA TAMPONADA (g/l)

Peptona de caseína	10
Cloruro sódico	5
Potasio di-hidrógeno fosfato	1,5
di-Sodio hidrógeno fosfato	3,5

## **Extracción de ADN**

Las extracciones de DNA para su posterior amplificación por PCR se llevaron a cabo a partir de 5 ml de cultivos crecidos en medio LB e incubados en agitación a 37°C durante 12-18 horas. Las células se recuperaron por centrifugación durante 10 minutos a 4.000 rpm y tras eliminar el sobrenadante por decantación se resuspendieron en 1 ml de agua de calidad Milli-Q (MQ) estéril, transfiriendo la suspensión de células a tubos estériles de 1,5 ml. Posteriormente se realizó un lavado con 1 ml de agua MQ estéril consistente en un paso de centrifugación durante 1 minuto a 6.000 rpm y resuspensión final en 0,1 ml de agua MQ estéril. Las células se lisaron mediante incubación en un termociclador a 96°C durante 10 minutos. Finalmente se eliminaron las células no lisadas mediante centrifugación durante 1 minuto a 10.000 rpm, transfiriendo el sobrenadante a un tubo estéril de 1,5 ml. La suspensión de DNA se conservó a -20°C.

## **Amplificación de regiones CRISPR mediante PCR**

Las reacciones de amplificación por PCR de las regiones CRISPR de *Salmonella* spp. se llevaron a cabo en un termociclador Mastercycler Gradient de Eppendorf, utilizando el kit Expand High Fidelity PCR system suministrado por la casa comercial ROCHE. Los cebadores empleados fueron diseñados a partir del alineamiento mediante la aplicación informática ClustalW (<http://www.genome.jp/tools/clustalw/>), de las regiones adyacentes a las agrupaciones de repeticiones en genomas disponibles en bases de datos públicas (<http://www.ncbi.nlm.nih.gov/genbank/>).

Las agrupaciones CRISPR1 se amplificaron utilizando los oligonucleótidos CR1F1, (5'-GATGTAGTGC GGATAATGC-3') y CR1R2 (5'-CCTGTTGAAAATCAATAAGTT-3'). Las agrupaciones CRISPR2 se amplificaron con los oligonucleótidos CR2F1 (5'-GCCATGGCCTTCTCCTG-3') y CR2R1 (5'-CATAGCGATGCACGGATC-3'). La localización aproximada de los 4 cebadores se muestra en la figura 1.

Los componentes de las reacciones de PCR se mezclaron en proporciones estándar de acuerdo con las recomendaciones del suministrador del sistema de amplificación, en un volumen final de 25 µl. El programa de amplificación utilizado en todos casos incluyó los siguientes pasos:

1. Desnaturalización a 94°C durante 2 minutos.
2. 15 ciclos de desnaturalización-hibridación-extensión, compuestos por una etapa de desnaturalización a 94°C durante 15 segundos, un paso de hibridación durante 30 segundos, disminuyendo la temperatura 1°C por ciclo desde 58°C hasta 43°C y finalmente de una fase de extensión a 72°C durante 1,5 minutos.
3. 35 ciclos de desnaturalización-hibridación-extensión, incluyendo cada uno de ellos una etapa de desnaturalización a 94°C durante 15 segundos, una de hibridación durante 1 minuto a 48°C, y una extensión a 72°C durante 1,5 minutos.
4. Extensión a 72°C durante 10 minutos.

## **Análisis de productos de PCR mediante electroforesis en gel de agarosa**

Los productos de PCR se analizaron mediante electroforesis a voltaje constante (80 mV) en gel de agarosa Seakem LE (Biowhittaker Molecular Applications) al 1% (p/v) en tampón TAE (Sambrook *et al.*, 2000), incluyendo el marcador de peso molecular 1Kb Plus DNA Ladder (Invitrogen) para la estimación del tamaño de los fragmentos. La visualización del DNA tras las electroforesis se realizó mediante tinción de los geles sumergiéndolos en una solución de Bromuro de Etidio (Sigma), y posterior lavado con agua destilada.

## **Secuenciación de productos de PCR**

Los productos de PCR fueron secuenciados por los Servicios Técnicos de Investigación de la Universidad de Alicante, utilizando un secuenciador ABI PRISM 310 DNA Sequencer (Applied Biosystems). Las muestras de DNA fueron purificadas previamente a su secuenciación con el kit GFX PCR DNA (GE Healthcare), siguiendo las instrucciones del fabricante.

## **Análisis bioinformático de las secuencias CRISPR**

Las agrupaciones CRISPR fueron identificadas en secuencias de DNA mediante la herramienta informática CRISPRFinder, disponible en la dirección web <http://crispr.u-psud.fr/crispr/CRISPRdatabase.php>. Los espaciadores CRISPR identificados de esta manera se compararon mediante la aplicación CRISPRtionaly, accesible en <http://crispr.u-psud.fr/CRISPRcompar/Dict/Dict.php>.

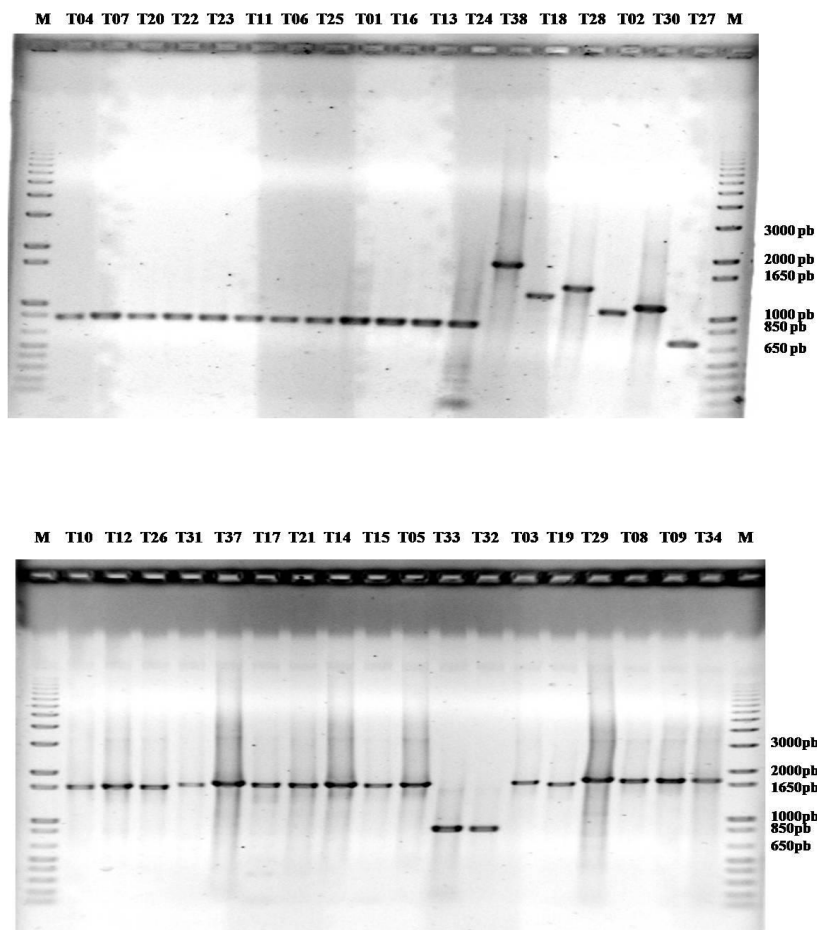
## **RESULTADOS Y DISCUSIÓN**

### **Diversidad de regiones CRISPR en *Salmonella enterica* subsp. *enterica***

Con la finalidad de valorar el potencial de la amplificación por PCR de loci CRISPR para la detección e identificación de *Salmonella enterica* subsp. *enterica*, se realizó en primer lugar un análisis de la variabilidad de las dos agrupaciones descritas para la especie en una colección de 67 cepas representativa de la diversidad de aislados relacionados con casos de salmonelosis no tifoidea humana en la zona de Elche. Este estudio permitiría al mismo tiempo optimizar las condiciones de amplificación, establecer la dimensión de su aplicación (a nivel de serotipos concretos o a nivel de la subespecie) y determinar qué locus es el más apropiado como diana de la PCR.

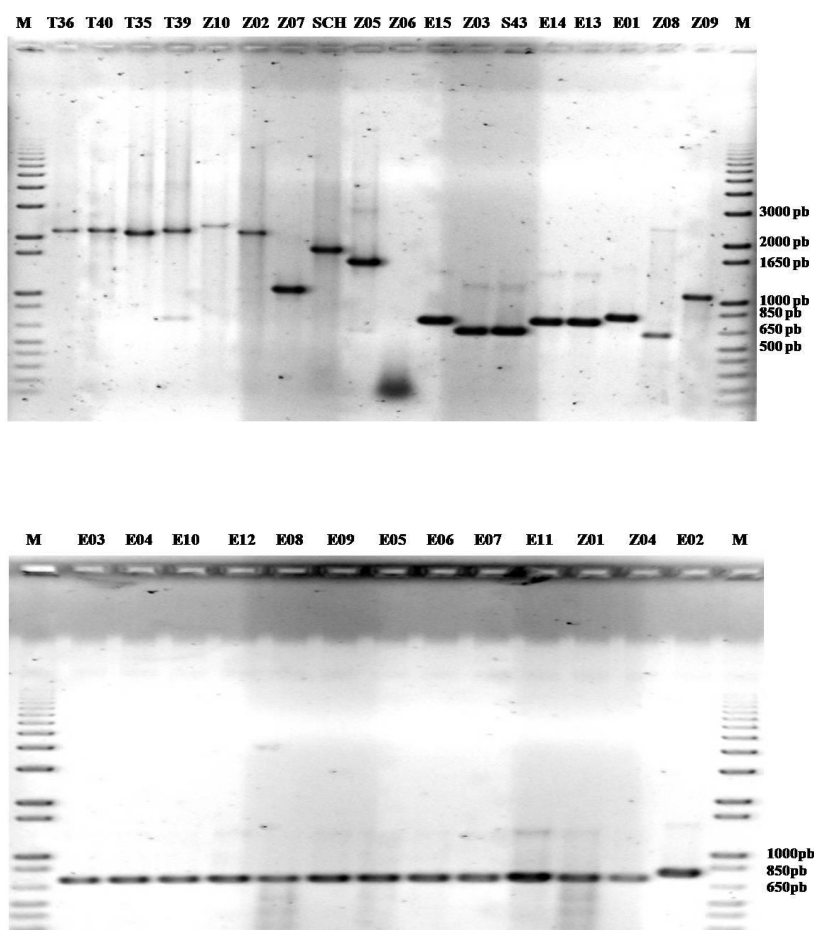
Una vez diseñada una pareja de oligonucleótidos específicos para cada una de las agrupaciones CRISPR1 y CRISPR2 de *S. enterica* subsp. *enterica* se procedió a la amplificación por PCR de ambas regiones (ver Materiales y Métodos). En primer lugar se amplificó la agrupación CRISPR1,

obteniendo productos de amplificación para las 67 cepas analizadas (figura 2), aunque en una de ellas (Z06) el pequeño tamaño del amplicón (0,2 kb) sugiere la ausencia de repeticiones en esta región.

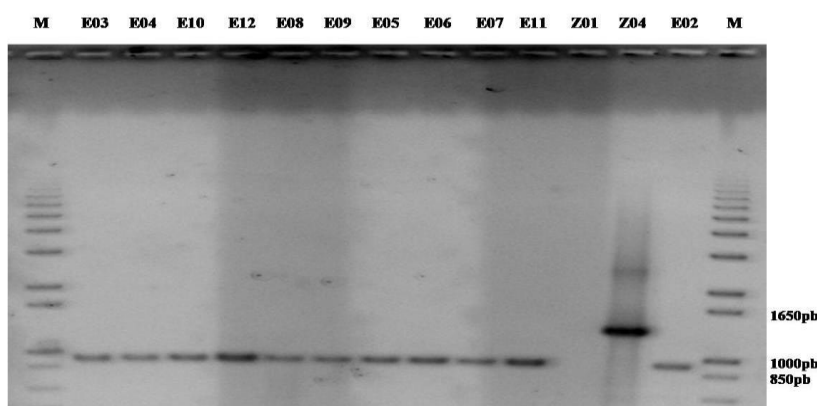
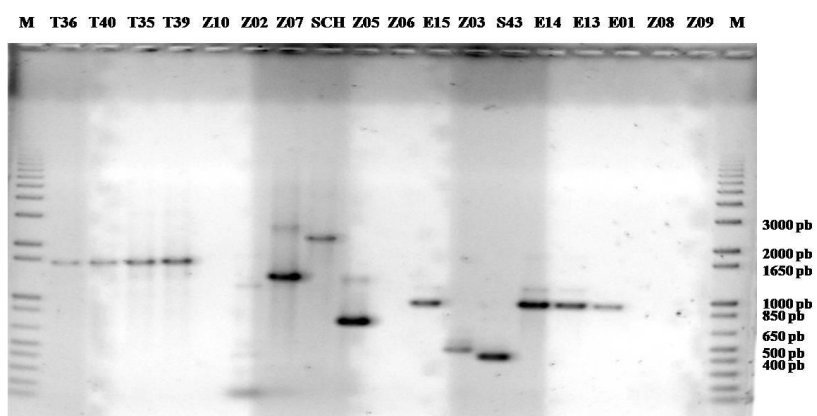
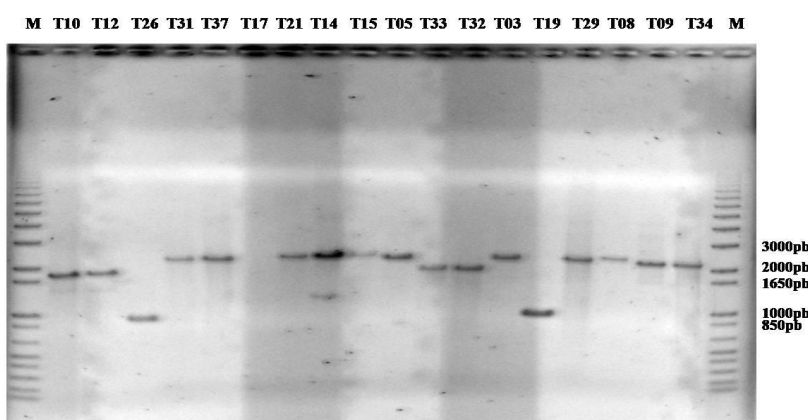
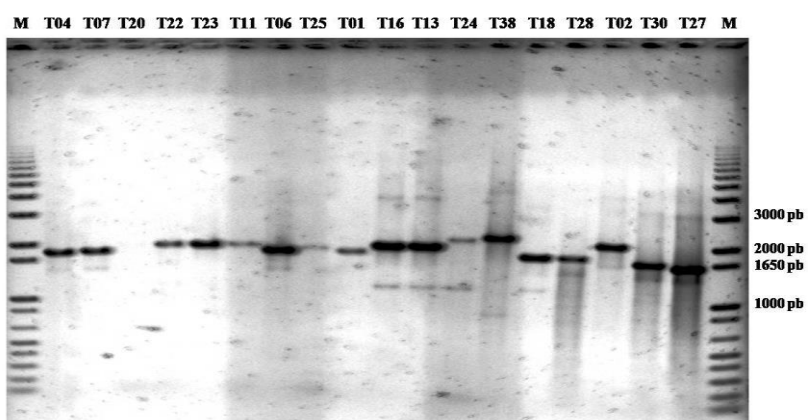


**FIGURA 2.** Electroforesis en gel de agarosa de los productos de amplificación por PCR de la agrupación CRISPR1. Se incluye el marcador de peso molecular 1Kb Plus DNA Ladder (M), indicando el tamaño de fragmentos que flanquean las bandas de amplificación más intensas (supuestamente específicas).

Fig.2 cont.



Las reacciones de PCR de la agrupación CRISPR2 (figura 3), dieron lugar a productos de amplificación para 60 de las 67 cepas analizadas (89,5%). La ausencia de amplificado en el caso de T20, T17, Z10, Z06, Z08, Z09 y Z01 podría deberse a varias razones, incluyendo la degeneración de las secuencias de apareamiento de los cebadores utilizados y/o a la inserción de algún elemento de gran tamaño que estaría impidiendo completar los amplificados a partir de dichos cebadores tal y como se ha documentado en *Escherichia coli* (Díez-Villaseñor *et al.*, 2010). En cualquier caso, estos resultados descartarían a la agrupación CRISPR2 como diana para la identificación mediante CRISPR-PCR de *S. enterica* subsp. *enterica*, al menos bajo las condiciones (cebadores y parámetros de reacción) utilizadas. Por el contrario, el locus CRISPR1 se confirma como una diana adecuada para este fin (amplificación del 100% de las cepas), si bien su utilidad debería corroborarse en un futuro mediante la amplificación de un mayor número y diversidad de aislados.



**FIGURA 3.** Electroforesis en gel de agarosa de los productos de amplificación por PCR de las agrupaciones CRISPR2. Se incluye el marcador de peso molecular 1Kb Plus DNA Ladder (M), indicando el tamaño de fragmentos que flanquean las bandas de amplificación más intensas, supuestamente específica.

Con el objeto de definir de forma más específica la variabilidad de los loci CRISPR, y con ello valorar la aplicabilidad de la CRISPR-PCR para la identificación a nivel de serotipo, se realizó una estimación del tamaño de los productos de amplificación a partir de varias electroforesis en gel de agarosa utilizando los marcadores de peso molecular como referencia (tabla 2). Aunque el tamaño de los amplicones no permite la asignación a un serotipo particular, si sería posible descartar pertenencia a serotipos concretos. Por ejemplo, la obtención de un amplicón para la agrupación CRISPR1 con un tamaño superior a 800 pb, o de uno superior a 1 kb para la CRISPR2, descartarían en principio pertenencia al serotipo Enteritidis (amplicones de 700-800 y 900-1000 pb respectivamente). En este sentido, cabe destacar el mayor rango de tamaños observado en Typhimurium para ambas agrupaciones (entre 700 y 2.300 pb para CRISPR1 y entre 900 y 2.600 pb para CRISPR2), indicativo de una mayor diversidad de los loci CRISPR, lo cual podría permitir una identificación a nivel cepa para este serotipo en estudios epidemiológicos.

**TABLA 2.** Estimación del tamaño de los amplicones CRISPR

CEPA	CLUSTER 1 (pb)	CLUSTER 2 (pb)	CEPA	CLUSTER 1 (pb)	CLUSTER 2 (pb)	CEPA	CLUSTER 1 (pb)	CLUSTER 2 (pb)
T01	785	1891	T24	836	2381	E07	698	986
T02	1005	2111	T25	785	1989	E08	739	911
T03	1773	2392	T26	1654	979	E09	739	911
T04	823	1844	T27	680	1544	E10	720	929
T05	1620	2392	T28	1355	1827	E11	716	968
T06	804	1891	T29	1883	2256	E12	739	929
T07	823	1844	T30	1052	1660	E13	741	916
T08	1827	2323	T31	1754	2448	E14	759	916
T09	1827	2127	T32	861	1948	E15	759	916
T10	1703	1803	T33	836	2006	Z01	735	No detectado
T11	804	2091	T34	1827	2066	Z02	2309	1177
T12	1703	1960	T35	2200	1590	Z03	672	470
T13	856	2111	T36	2309	1590	Z04	716	1359
T14	1754	2517	T37	1860	2381	Z05	1566	718
T15	1754	2517	T38	1826	2381	Z06	254	No detectado
T16	856	2111	T39	2309	1680	Z07	1036	1349
T17	1806	No detectado	T40	2309	1590	Z08	641	No detectado
T18	1236	1827	E01	797	891	Z09	1041	No detectado
T19	1721	936	E02	755	932	Z10	2484	No detectado
T20	823	No detectado	E03	720	929	SCH	1768	2334
T21	1754	2517	E04	720	911	S43	672	432
T22	823	2091	E05	758	911			
T23	804	2039	E06	698	1005			

Para profundizar en este aspecto, se secuenciaron fragmentos de distinto tamaño obtenidos para las dos agrupaciones de siete de las cepas de Typhimurium analizadas (T02, T03, T06, T10, T18, T27, T36), seleccionadas aleatoriamente. Las secuencias de parte (CRISPR2) o la totalidad de los fragmentos (CRISPR1) se adjuntan en el Anexo I. En todos los casos se observó la presencia de repeticiones CRISPR, confirmando la especificidad

de las reacciones de PCR. La comparación de la dotación de espaciadores CRISPR1 en estas cepas junto con la información disponible en las bases de datos de secuencias (figura 4) muestra que no hay ningún espaciador que esté presente en todas las cepas de *Typhimurium*, descartando una posible utilización de cebadores internos para la identificación del serotipo, y por extensión de la subespecie, confirmando la estrategia utilizada en este trabajo como la única alternativa para este fin. Por otro lado, solo una cepa de las secuenciadas en este trabajo (T36) presenta espaciadores específicos, que podrían utilizarse en estudios epidemiológicos (por ejemplo, para la identificación del alimento origen de la infección), por lo que para la realización de este tipo de estudios basado en secuencias CRISPR se debería recurrir a alternativas más elaboradas que la simple amplificación por PCR, que permitieran la detección de combinaciones de espaciadores tales como hibridación o secuenciación.

CEPAS	ESPAZIADORES																														
	1	2	3	4	5	6	7	8	9	10	11	12	13	14	15	16	17	18	19	20	21	22	23	24	25	26	27	28	29	30	31
T02	■																														
T03							■	■	■	■	■	■	■	■	■	■	■	■	■	■	■	■	■	■	■	■	■	■	■		
T06	■	■	■	■	■	■	■	■	■	■	■	■	■	■	■	■	■	■	■	■	■	■	■	■	■	■	■	■	■	■	
T10	■	■	■	■	■	■	■	■	■	■	■	■	■	■	■	■	■	■	■	■	■	■	■	■	■	■	■	■	■	■	
T18																															
T27																															
T36	■	■	■	■	■	■	■	■	■	■	■	■	■	■	■	■	■	■	■	■	■	■	■	■	■	■	■	■	■	■	
D23580																															
DT104																															
DT2																															
LT2																															
SL1344																															
T000240-1																															
UK-1																															

**FIGURA 4.** Contenido en espaciadores CRISPR1 de cepas secuenciadas en este trabajo y de genomas disponibles de *Salmonella* *Typhimurium*

#### Detección de *Salmonella enterica* subsp. *enterica* en muestras de mayonesa

En base a los resultados obtenidos en el apartado anterior, se decidió utilizar la agrupación CRISPR1 como diana para la detección de *Salmonella* por PCR.

La detección de *Salmonella enterica* subsp. *enterica* en muestras de alimento se realizó tras inocular muestras de mayonesa casera con la cepa S43. En la figura 5 se representa esquemáticamente el procedimiento seguido. El inóculo se preparó a partir de un comprimido BACuanti, suministrado por laboratorios LABAQUA S.A, conteniendo  $2,9 \times 10^5$  ufc (incertidumbre  $\pm 1.64\%$ ) de la cepa liofilizada. Para ello se reconstituyó la pastilla con 20 ml de agua estéril, dando lugar a una concentración teórica de  $1,4 \times 10^4$  ufc/ml. Con la finalidad de confirmar dicha concentración, se sembraron por filtración (filtrado sobre membrana de celulosa de 0,45 µm)

placas de Agar Salmonella-Shigella (SS) a partir de varias diluciones por triplicado del reconstituido, incubando a 37°C durante 24 horas. El recuento de ufc/ml a partir de estas placas dio lugar a una estimación de  $6,0 \pm 1,0 \times 10^3$  ufc/ml. La diferencia con respecto al valor teórico podría atribuirse a una pérdida de viabilidad de las células liofilizadas durante el almacenamiento.

Una vez estimada la concentración de ufc en la suspensión, se realizaron pre-enriquecimientos en Agua Peptona Tamponada (APT) a partir de muestras de mayonesa (25 gramos de mayonesa homogeneizada en 225 ml de APT) inoculadas con 1 ml de diluciones  $10^{-1}$ ,  $10^{-2}$ ,  $10^{-3}$  o  $10^{-4}$  de la citada suspensión de células. Estos experimentos se realizaron por duplicado. Los pre-enriquecimientos se incubaron en agitación (120 rpm) a 37°C durante 24 horas. A continuación se realizaron enriquecimientos en Rappaport-Vassiliadis (RV) transfiriendo 0,1 y 1 ml a tubos con 10 ml de medio y se incubaron a 42°C durante 24 horas.

Para confirmar crecimiento de *Salmonella* tras el periodo de incubación de los enriquecimientos se sembraron 0,2 ml de cada uno de ellos en placas de Agar Entérico Hektoen (HK) y Agar Salmonella-Shigella (SS), y se incubaron a 37°C durante 24h. Se obtuvieron colonias típicas de *Salmonella* en todas las placas sembradas a partir de los enriquecimientos procedentes de las diluciones  $10^{-1}$ ,  $10^{-2}$  y  $10^{-3}$ , pero no partir de la  $10^{-4}$ .

Finalmente, se extrajo el DNA a partir de los enriquecimientos tras centrifugar 1 ml (enriquecimientos procedentes de diluciones  $10^{-1}$  y  $10^{-2}$ ), o 9 ml (diluciones  $10^{-3}$  y  $10^{-4}$ ) y se amplificó por PCR utilizando cebadores de la agrupación CRISPR1, tal y como se describe en el apartado Materiales y Métodos. Se obtuvieron bandas de amplificación para los enriquecimientos inoculados con 0,1 ml a partir de pre-enriquecimientos de las diluciones  $10^{-1}$ ,  $10^{-2}$  y  $10^{-3}$ . Por el contrario, no se pudo detectar amplificado para los enriquecimientos inoculados con 0,1 ml o 1 ml procedentes de pre-enriquecimientos de la dilución  $10^{-4}$  (figura 6).

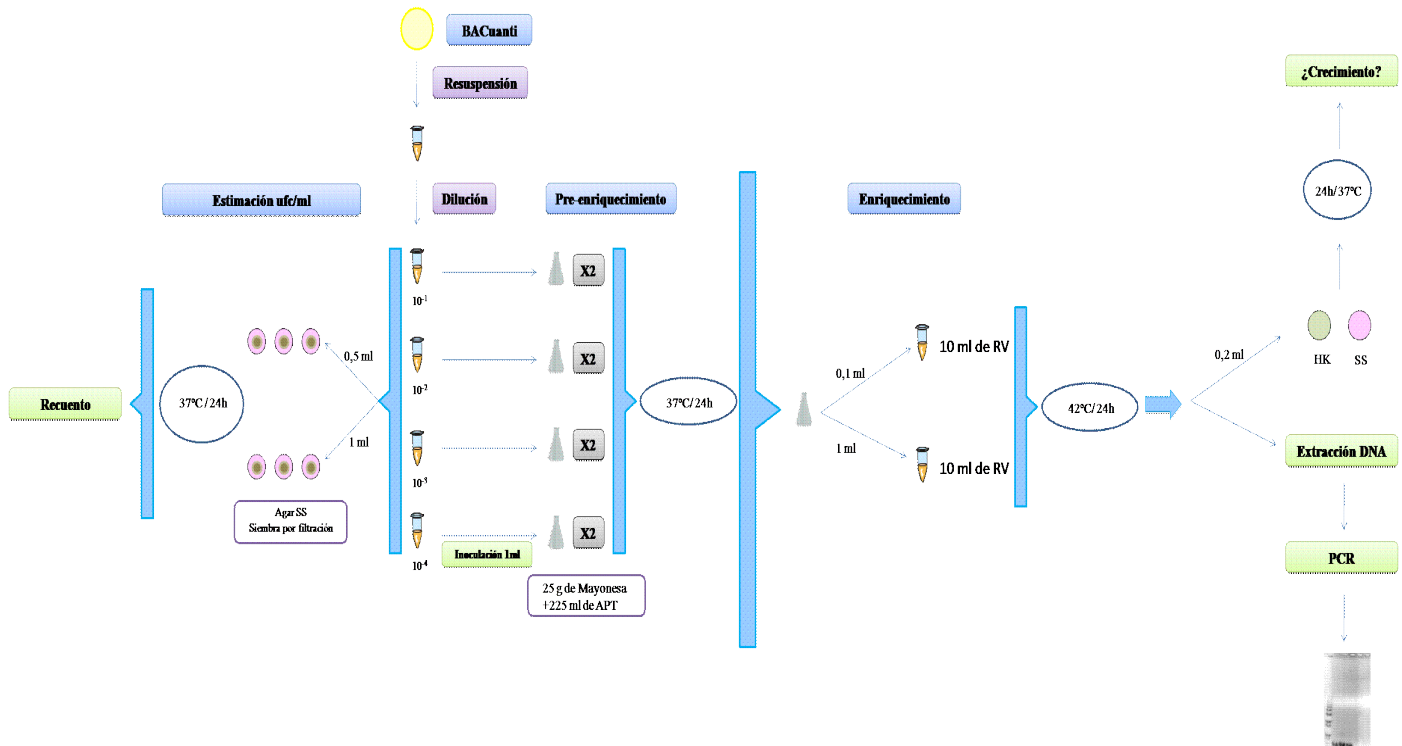
Según nuestra estimación por recuento en placa de ufc de la muestra de *Salmonella* inoculada, los pre-enriquecimientos realizados a partir de la dilución  $10^{-4}$  contendrían 0,6 ufc. Tanto la ausencia de crecimiento en las placas sembradas a partir de los enriquecimientos como la no obtención de amplificados por PCR correspondientes a esta dilución son acordes con esta estimación. Por otro lado, la amplificación de las muestras procedentes de la dilución  $10^{-3}$  confirma que mediante el procedimiento empleado, es posible detectar e identificar *Salmonella enterica* subsp. *enterica* a un nivel de contaminación inferior a 10 ufc en 25 gramos de muestra. Al mismo tiempo, la obtención de amplificado a partir de 9 ml de cultivo en RV descarta una inhibición de la reacción de PCR por componentes del medio y de la propia mayonesa en las condiciones del ensayo.

Se propone un protocolo CRISPR-PCR para la detección e identificación de *Salmonella enterica* subsp. *enterica* consistente en las siguientes etapas y condiciones:

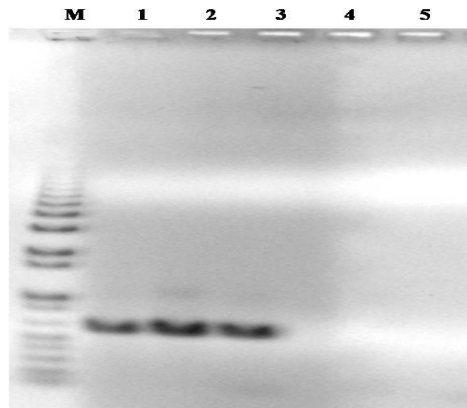
1. Pre-enriquecimiento de una dilución 1/10 del alimento en APT (incubación a 37°C/24h)

2. Enriquecimiento tras inoculación de 0,1 mL de pre-enriquecimiento en 10 mL de medio RV (incubación a 42°C/24h)
3. Extracción de DNA total a partir de 9 mL de enriquecimiento
4. PCR con los cebadores CR1F1 y CR1R2, utilizando las condiciones generales de amplificación descritas en este trabajo

Con este procedimiento es posible detectar e identificar *Salmonella enterica* subsp. *enterica* en un alimento en un plazo de 2 días, considerablemente inferior al de los métodos convencionales de cultivo, con un nivel de sensibilidad igual o superior a estos, suponiendo una alternativa rápida, económica y sencilla a otros métodos comerciales de detección rápida. A falta de una validación mediante el análisis de un mayor espectro de aislados de distinto origen geográfico, el protocolo descrito se podría emplear como complemento a otros procedimientos bien establecidos.



**FIGURA 5.** Representación esquemática del análisis por CRISPR-PCR de muestras de mayonesa.



**FIGURA 6.** Electroforesis en gel de agarosa de los productos de amplificación por PCR de los enriquecimientos. Se incluyen muestras de enriquecimientos inoculados con 0,1 ml (calle 1-4) y 1 ml (calle 5) procedentes de pre-enriquecimientos a partir de diluciones  $10^{-1}$  (calle 1),  $10^{-2}$  (calle 2),  $10^{-3}$  (calle 3) y  $10^{-4}$  (calle 4 y 5). Se incluye el marcador de peso molecular 1Kb Plus DNA Ladder (M).

## CONCLUSIONES

- 1.- La amplificación por PCR de la agrupación CRISPR1 (CRISPR1-PCR) de *Salmonella* permite identificar y detectar de manera específica la presencia de *Salmonella enterica* subsp. *enterica* en alimentos.
- 2.- La agrupación CRISPR2 de *Salmonella enterica* subsp. *enterica* no es un marcador genético apropiado para la detección de cepas de la subespecie mediante PCR.
- 3.- El método CRISPR1-PCR permite detectar niveles de contaminación por *Salmonella enterica* subsp. *enterica* inferiores a 10 ufc en muestras de alimento.
- 4.- La ausencia de espaciadores CRISPR1 comunes a todas las cepas de *Salmonella Typhimurium* impide una identificación específica del serotipo basada exclusivamente en la detección de una de dichas secuencias.
- 5.- La amplificación por PCR de las agrupaciones CRISPR de *Salmonella enterica* subsp. *enterica* y su secuenciación podría permitir la identificación del origen de brotes de infección alimentaria en casos concretos.

## REFERENCIAS

- Barrangou R, Fremaux C, Deveau H, Richards M, Boyaval P, Moineau S, Romero DA, Horvath P. CRISPR provides acquired resistance against viruses in prokaryotes. *Science*. 2007; 315:1709-12.
- Díez-Villaseñor C, Almendros C, García-Martínez J, Mojica FJ. Diversity of CRISPR loci in *Escherichia coli*. *Microbiology*. 2010; 156:1351-61.
- Ellermeier, C D., Slauch J M. The Genus *Salmonella* en The Prokaryotes: Vol. 6, Proteobacteria: Gamma Subclass. Dworkin, M.; Rosenberg, E.; Schleifer, K.-H.; Stackebrandt, E. (Eds.). Springer. 2006.
- Godde JS, Bickerton A. The repetitive DNA elements called CRISPRs and their associated genes: evidence of horizontal transfer among prokaryotes. *J Mol Evol*. 2006; 62:718-29.
- Grissa I, Vergnaud G, Pourcel C. The CRISPRdb database and tools to display CRISPRs and to generate dictionaries of spacers and repeats. *BMC Bioinformatics*. 2007; 8:172.
- Haft DH, Selengut J, Mongodin EF, Nelson KE. A guild of 45 CRISPR-associated (Cas) protein families and multiple CRISPR/Cas subtypes exist in prokaryotic genomes. *PLoS Comput Biol*. 2005; 1:e60.
- Ishino Y, Shinagawa H, Makino K, Amemura M, Nakata A. Nucleotide sequence of the *iap* gene, responsible for alkaline phosphatase isozyme conversion in *Escherichia coli*, and identification of the gene product. *J Bacteriol*. 1987; 169:5429-33.
- Jansen R, Embden JD, Gaastra W, Schouls LM. Identification of genes that are associated with DNA repeats in prokaryotes. *Mol Microbiol*. 2002; 43:1565-75.
- Kunin V, Sorek R, Hugenholtz P. Evolutionary conservation of sequence and secondary structures in CRISPR repeats. *Genome Biol*. 2007; 8:R61.
- Liu F, Barrangou R, Gerner-Smidt P, Ribot EM, Knabel SJ, and Dudley EG. Novel Virulence Gene and Clustered Regularly Interspaced Short Palindromic Repeat (CRISPR) Multilocus Sequence Typing Scheme for Subtyping of the Major Serovars of *Salmonella enterica* subsp. *enterica*. *Applied and Environmental Microbiology*, Mar. 2011, p. 1946–1956 Vol. 77, No. 6
- Makarova KS, Haft DH, Barrangou R, Brouns SJ, Charpentier E, Horvath P, Moineau S, Mojica FJ, Wolf YI, Yakunin AF, Van der Oost J and Koonin EV. Evolution and classification of the CRISPR-Cas systems. *Nature Reviews Microbiology*. Volume 9. June 2011.
- Makarova KS, Grishin NV, Shabalina SA, Wolf YI, Koonin EV. A putative RNA-interference-based immune system in prokaryotes: computational analysis of the predicted enzymatic machinery, functional analogies with eukaryotic RNAi, and hypothetical mechanisms of action. *Biol Direct*. 2006; 1:7.
- Mojica FJ, Díez-Villaseñor C, Soria E, Juez G. Biological significance of a family of regularly spaced repeats in the genomes of Archaea, Bacteria and mitochondria. *Mol Microbiol*. 2000; 36:244-6.
- Mojica FJ, Juez G, Rodríguez-Valera F. Transcription at different salinities of *Halofex mediterranei* sequences adjacent to partially modified PstI sites. *Mol Microbiol*. 1993; 9:613-21.
- Sambrook, J, MacCallum, P, Russel D. Molecular cloning: a laboratory manual, 3<sup>rd</sup> ed. Cold Spring Harbor Laboratory Press, Cold Spring Harbor, N.Y. 2000.
- Shelobolina ES, Sullivan SA, O'Neill KR, Nevin KP, and Lovley DR. Isolation, Characterization, and U(VI)-Reducing Potential of a Facultatively Anaerobic, Acid-Resistant Bacterium from Low-pH, Nitrate- and U(VI)-Contaminated Subsurface Sediment and Description of *Salmonella* subterranea sp. nov. *Applied and Environmental Microbiology*, May, Vol. 70, No. 5 P. 2959–2965 (2004).
- Touchon M, Rocha EP, The small, slow and specialized CRISPR and anti-CRISPR of *Escherichia* and *Salmonella*. *Plos One* 2010. Jun 15; 5(6)

## **ANEXO I**

### **Secuencias de amplicones CRISPR-PCR**

>T02/CRISPR 1

GTGTTATCCCCGCTGGCGGGAAACATTTCAGCCCTGTCGACTGCGGAACGC  
CCCTCGGTTATCCCCGCTGGCGGGAAACACCGCAAATAGTGGGAAAAACCCCT  
GGTAACCCGGTTATCCCCGCTGGCGGGAAACACTAGGCCTTGATACCATCGCT  
CGCACCTCGTCACGGTTATCCCCGCTGGCGGGAAACACTCTTATCGTCAATGC  
GAAATTTCGGACCGGGTTATCCCCGCTGGCGGGAAACACTCCCATTACCA  
ACAACAATATGCCCTGCAACGGTTATCCCCGCTGGCGGGAAACACCGTTGCGT  
CAGGTTGATCCAGTGCCTGAGCGGGGGTTATCCCCGCTGGCGGGAAACACTCTC  
GGTCGGTCTCGGTAGTGACCGGGTTATCCCCGCTGGCGGGAAACAC  
ACTTCCTTCAGTCTAACGATAATCCGCAACCGGGTTATCCCCGCTGGCGGGAA  
ACACGCAAATAGCGATGAGCTGGCTACGCCACTGGGGTTATCCCCGCTGGCGC  
GGGAACACGCAAATAGCGATGAGCTGGCTACGCCACTGGGGTTATCCCCGCT  
GGCGGGAAACACAGCGGGCGAGCCTGGAGGGTTGAATAATGGGGTTATCCC  
CGCTGGCGGGAAACACGAGGGTAGGAGTTACGATCCAGCCTGGTTGCGGTTA  
TCCCCGCTGGCGGGAAACACGTGGTTGCAGACCAATCAGCCGCCAGCGGTTCGG  
TTTATCCCCGCTGGCGGGAAACACCAAGCACGAAAAATTATTTACTGTCGTTGCTC  
ACGGTTATCCCCGCTGGCGGGAAACAC

>T27/CRISPR 1

GTGTTATCCCCGCTGGCGGGAAACACTAGGCCTTGATACCATCGCTCGCACCTC  
GTCACGGTTATCCCCGCTGGCGGGAAACACGTTATTACTGTTAGTTAATTAA  
TGGGTTGCCGGTTATCCCCGCTGGCGGGAAACACAGGCGAATAATCTCTAATAG  
TCTCAATTGTTCGGTTATCCCCGCTGGCGGGAAACACTAAATCTGGCGTCGAG  
ACATTGAAATAGGCCGGTTATCCCCGCTGGCGGGAAACACTCTTTGATT  
GCTGCGATGTTATAACCAGACGGTTATCCCCGCTGGCGGGAAACACTATCCACA  
TATACCGCAATCATATTCAAGAACGGTTATCCCCGCTGGCGGGAAACACAATC  
ACTGCGGGGTATTTAGCGAAACGGCTGGTTATCCCCGCTGGCGGGAAACAC  
CAGCACGAAAAATTATTTACTGTCGTTGCTCACGGTTATCCCCGCTGGCGGGAA  
ACAC

>T36/CRISPR 1

GTGTTATCCCCGCTGGCGGGAAACATTTCAGCCCTGTCGACTGCGGAACG  
CCCTCGGTTATCCCCGCTGGCGGGAAACACCGCAAATAGTGGGAAAAACCC  
TGGTTAACCGGGTTATCCCCGCTGGCGGGAAACACTAGGCCTTGATACCATCGC  
TCGCACCTCGTCACGGTTATCCCCGCTGGCGGGAAACACGTTATTACTGCTTA  
GTTAATTAAATGGGTTGCCGGTTATCCCCGCTGGCGGGAAACACAGGCGAATAAT  
CTCTAATAGTCTCAATTGTTCGGTTATCCCCGCTGGCGGGAAACACTAAATCT  
GGCGTCGAGACATTGAAATAGTGCCGGTTATCCCCGCTGGCGGGAAACACTCT  
TTTGGTTTGCTGCGATGTTATAACCAGACGGTTATCCCCGCTGGCGGGAAACA  
CTATCCACATATACCGCAATCATATTCAAGAACGGTTATCCCCGCTGGCGGGG  
ACACAATCACTGCGGGGTATTTAGCGAAACGGCTCGGTTATCCCCGCTGGCGC  
GGGACACGATCGAGTAACGTGCGCTGGAACCGCGTGGCGGGAAACACAATTAAAG  
CCGAGGGTGGCACCGCGCTTATTGCGGTTATCCCCGCTGGCGGGAAACACGCAC  
CTCGAAACGGTTAAAACACTACCGTTTGGCGGTTATCCCCGCTGGCGGGAAACA  
CTGGACCGATGGGCAACATCGCGAACGTGGCGGTTATCCCCGCTGGCGGGG  
AACACGTTACGTTCGTAAATGGAAAGCGCGAATATCGGTTATCCCCGCTGGCGC  
GGGAACACCCAGAAAGTGCCTGAGTGACGACGGTTATCCCCGCTGCG  
GCGGGAAACACCGCGCCACTTCCGAAAATACAGATAATCCACGGTTATCCCC  
GCTGGCGGGAAACACGGCAGCGGGGAGGGCAAACACACATTGGGGCGTCGGTTAT

CCCCGCTGGCGCGGGAAACACGGCAGCAGGGCGAGGCAAACACATCGGGCGTCGGT  
TTATCCCCGCTGGCGCGGGAAACACGGTAATTCTCATCTAACAGCCTGTACGCC  
TC  
AGTTTATCCCCGCTGGCGCGGGAAACACGAATCTAACGAAACAGATGAATAAACACG  
TAACGGGTTATCCCCGCTGGCGCGGGAAACACTCTTATCGTCAATGCGAAATT  
CCCGGACGCGTTATCCCCGCTGGCGCGGGAAACACTCCCATTCCAACAACAATA  
TCGCCCTGCAACGTTATCCCCTGGCCGGGGAAACACGTGCGTCAGTGATCAGGGTC  
AGCGCGGTTATCCCCGCTGGCGCGGGAAACACTTCGGTCTCGGTCTCGGT  
GTGACGCGGTTATCCCCGCTGGCGCGGGAAACACACTTCCTTCAGTCTTAACGATAAT  
CCGCAACGCGGTTATCCCCGCTGGCGCGGGAAACACGCAAATAGCGATGAGCTGGC  
TACGCCCACTGGCGGTTATCCCCGCTGGCGCGGGAAACACAGCCGGCGAGCCTGG  
AGGGTTGAATAATGGCGGTTATCCCCGCTGGCGCGGGAAACACCAATCTCGCATT  
GTTACCCCACATGCATTTCGGTTATCCCCGCTGGCGCGGGAAACACGAGGGGATA  
GGAGTTACGATCCAGCCTGGTTGCGGTTATCCCCGCTGGCGCGGGAAACACGTGGT  
TGCAGACCAATCAGCCCAGCGGTTCGGTTATCCCCGCTGGCGCGGGAAACACC  
AGCACGAAAAATTATTACTGTCGTTGTCACGGTTATCCCCGCTGGCGCGGGAA  
CACTGTAACAGTCGTTAATCAGCGCGTGGAGGTTATCCCCGCTGGCGCGG  
GGAACAC

>T03/CRISPR 1

CACTGTTGGTAGAACACTGGCGAGGCGGAAACGTCCTGATATGCTGGTAAACGTGTT  
TATCCCCGCTGGCGCGGGAAACATTTTCAGCCCTGTCACTGCGGAACGCCCTC  
GGTTTATCCCCGCTGGCGCGGGAAACACGCGAAATAGTGGGAAAACCCCTGGTTA  
ACCCGGTTATCCCCGCTGGCGCGGGAAACACTAGGCCTTGATACCATCGCTCGCAC  
CTCGTCACGGTTATCCCCGCTGGCGCGGGAAACACTCTTTGATTTGCTGCGATG  
TTATAACCAGACGGTTATCCCCGCTGGCGCGGGAAACACTATCCACATATACCGC  
AATCATATTCAAGAACGGTTATCCCCGCTGGCGCGGGAAACACAATCACTGCGGG  
GTATTAGCGGAAACGGCTCGGTTATCCCCGCTGGCGCGGGAAACACGATCGAGTA  
ACGTGCGCTGGAACCGTGGCGGGAAACACAATTAAAGCCGAGGGTGGCACCGC  
GCCTTATTGGTTATCCCCGCTGGCGCGGGAAACACGCACCTCGAAACGGTTTAA  
AACACTACCGTTTCGGTTATCCCCGCTGGCGCGGGAAACACTGGACCGATGGGGCC  
AACATCGCCGAACGTGGCGGTTATCCCCGCTGGCGCGGGAAACACGTTACGTTCGG  
TAAATGGAAAGCGGCGAATACGGTTATCCCCGCTGGCGCGGGAAACACCCAGAA  
GTGCCGGTAGTGCCTGATGAACGACCGGTTATCCCCGCTGGCGCGGGAAACACCGC  
GCCCACCTCCGTAACAGATAATCCACGGTTATCCCCGCTGGCGCGGGAAACA  
CGGTAAATTCTCATCTAACAGCCTGTACGCCCTCAGGTTATCCCCGCTGGCGCGGG  
AACACGAATCTAATGCAACAGATGAATAAACACGTAACGGTTATCCCCGCTGGCG  
GGGGAAACACTCTTATCGTCAATGCGAAATTTCGCGACGCGGTTATCCCCGCTG  
GCGCGGGAAACACTCCCATTCAACAAACAATATGCCCTGCAACGGTTATCCCCG  
CTCGCGCGGGACACCGGTTGCGTCAGGTTGATCCAGTGCCTCAGCGCGGGTTATCCCC  
GCTGGCGCGGGAAACACTCTCGGTCTCGGTCTCGGTAGTGACGCGGTTAT  
CCCCGCTGGCGCGGGAAACACACTCCCTCAGTCTAACGATAATCCGCAACCGCGG  
TTATCCCCGCTGGCGCGGGAAACACGCAAATAGCGATGAGCTGGTACGCCACTG  
GCGGTTATCCCCGCTGGCGCGGGAAACACGAGGGGATAGGAGTACGATCCAGCCT  
GGTTGCGGTTATCCCCGCTGGCGCGGGAAACACGTGGTTGCAGACCAATCAGCCG  
CCAGCGGTTCGGTTATCCCCGCTGGCGCGGGAAACACGTGGTTGCAGACCAATCAG  
CCCGCCAGCGGTTCGGTTATCCCCGCTGGCGCGGGAAACACCAGCACGAAAC  
TTTACTGTCGTTGCTCACGGTTATCCCCGCTGGCGCGGGAAACACACTAAACTAT  
ATATCTGTTCTAAGAACGCTTTACTACATAACAAACTACCAACGTTAAGATAAC  
AATGGCTTACTTATTAA

>T06/CRISPR 1

TTAGATGTAGGGGGAAAAAAATCGGGTGGTAAAGAGCTGGCGAAGGC GGAAAACGTC  
CTGATATGCTGTAAACCGTGCTATCCCGCTGGCGGGGAACATTTCAGCCCCTTG  
TCGACTCGGAACGCCCTCGGTTATCCCGCTGGCGGGGAACCGCGAAATAGT  
GGGGAAAACCCTGTAACCGGTTATCCCGCTGGCGGGAAACACTAGGCCTT  
GATACCATCGCTCGCACCTCGTACGGGTTATCCCGCTGGCGGGGAACACGTT  
TATTACTGCTTAGTTAATTATGGGTTGCCGGTTATCCCGCTGGCGGGGAACA  
CAGGCGAATAATCTTAATAGTCTCAATCGTTCGGTTATCCCGCTGGCGGG  
AACACTAAATCTGGCTGAGACATCGAAATAGTGCCGGTTATCCCGCTGGCG  
GGGGAAACACTCTTTGATTTGCTGCGATGTTTAACCAGACCGGTTATCCCGCTG  
GCGGGGGAAACACTATCCACATACCGCAATCATATTCAAGAACGGTTATCCC  
GCTGGCGGGGAACACAATCACTGCGGGGTATTTAGCGGAAACGGGCTCGGTTAT  
CCCGCTGGCGGGGAACACCCAGCACGGAAAAATTTACTGTCGGCTCGGTTAC  
TTATCCCGCTGGCGGGGAACACACTAAACTATATTTGTTCTAAAAGCCCT  
TACTACATAACAAACTACCAACGGTAAGATAACATCCTTATATGAAGACCT

>T18/CRISPR 1

GTGTTATCCCCGCTGGCGGGGAACATTTCAGCCCTTGTCACTGCGGAAACG  
CCCCTCGTTATCCCGCTGGCGGGGAACACCGCGAAATAGTGGGGAAAACCC  
TGGTTACCCGGTTATCCCGCTGGCGGGAAACACACTAGGCCTTGATACCCATCG  
TCGACCTCGTACGGTTATCCCGCTGGCGGGAAACACCGTTATACTGTTA  
GTTATTAATGGGTTGCCGTTATCCCGCTGGCGGGAAACACAGGCGAATAAT  
CTCTTAATAGCTCAATTCGGTTATCCCGCTGGCGGGAAACACACTAAATCT  
GGCGTCGAGACATCGAAATAGTCCCGGTTATCCCGCTGGCGGGAAACACCT  
TTTGATTTGCTGCGATGTTTAACCAGGTTATCCCGCTGGCGGGAAAC  
CTATCCACATACCCGAATCATCATTTCAAGAAACGGTTATCCCGCTGGCGGG  
AAACACAACTACTCGGGGGTATTTAGCGGGAAACGGCTCGGGTTATCCCGCTGGCG  
GGGGAAACACGTAGTAACGTGCGTGGAAACGCGTCGCGGGGAACACAATTAA  
AGCCGAGGGTTGGACCGCGCTTATCGGGTTATCCCGCTGGCGGGAAACACGC  
ACCTCGAAACGGTTAAACACCTACCGGTTTATCCCGCTGGCGGGAA  
CACGGTAATTCCTACACGCCTGTACGCCTCAGGGTTATCCCGCTGGCG  
GGAAACACGAATCTAATGCAACAGATGAAAACACCGTAACGGTTATCCCGCTGG  
GCGGGGAAACACCTTTATCGTCATGCGAAATTCCCGACGGTTATCCCG  
TGGCGGGGAACACACCTCCATTCACCAAAACAAATTCCCCTGCAAACGGTTATCC  
CCGTGGCGCGGGGAACACCGCAAAATAGCGATGAGCTGGCTACGCCCACTGCGGGTT  
TATCCCGCTGGCGGGGAACAC

>T10/CRISPR 1

GTGTTATCCCGCTGGCGGGGAACATTTCAGCCCTTGTCACTGCGGAAACG  
CCCTCGTTATCCCGCTGGCGGGGAACACCGCGAAATAGTGGGGAAAACCCCT  
GGTTACCCGGTTATCCCGCTGGCGGGAAACACACTAGGCCTTGATACCCATCGCT  
CGCACTCGTACGGTTATCCCGCTGGCGGGAAACACCGTTATACTGTTA  
TTTAATGGGTTGCCGTTATCCCGCTGGCGGGAAACACAGGCGAATAATCT  
TCTTAATAGCTCAATTCGGTTATCCCGCTGGCGGGAAACACACTAAATCT  
GCGTCGAGACATCGAAATAGTCCCGGTTATCCCGCTGGCGGGAAACACCTTT  
TTGATTTTGCTGCGATGTTTAACCAGGTTATCCCGCTGGCGGGAAACAC  
TATCCACATACCCGAATCATCATTTCAAGAAACGGTTATCCCGCTGGCG  
GGAAACACGTAGTAACGTGCGTGGAAACGCGTCGCGGGGAACACAATTAA

GCCGAGGGTGGCACCGCGCCTTATTCGTTATCCGCTGGCGGGGAACACGCAC  
CTGAAACGGTTAAAACACTACCGTTCGTTCGTATCCGCTGGCGGGAAACA  
TGGACCGATGGGCCAACATCGCGAACGTGGCGTTATCCCCCTGGCGCGGG  
CACGTTACGTCGGTAAATGGAAAGCGCGAACATATCGATTATCCCCCTGGCGCGGG  
GAACACCCAGAAAGTGCCGTAGTGCCTGATGAACGACCGGTTATCCCCCTGGCG  
CGGGGAACACCCGGCCACTCCGTAAAATACAGATAATCCACGTTATCCCCGCT  
GGCGGGGAACACGGCAGCGGGCGAGGCAAACACATTCGGGCGTCGGTTATCCC  
CGCTGGCGGGGAACACGGTAATTTCTCATCTAACAGCCTGTACGCTCAGGTTA  
TCCCCGCTGGCGGGGAACACGAATCTAACGAACAGATGAATAAACACGTAACGG  
TTTATCCCCGCTGGCGGGGAACACTCTTATCGTCAATGCGAAATTTCCGCGAC  
GCGGTTATCCCCGCTGGCGGGGAACACTCCCATTACCAACAAATATCGCCC  
TGCAACGGTTATCCCCGCTGGCGGGGAACACACTTCCTTCAGTCTAACGATAA  
TCCGCAACCGGGTTATCCCCGCTGGCGGGGAACACGCAAAATAGCGATGAGCTG  
GCTACGCCACTGGCGGTTATCCCCGCTGGCGGGGAACACCAGCACGAAAAATT  
ATTTACTGTCTTGCTCACGTTATCCCCGCTGGCGGGGAACAC

>T18/CRISPR 2

CGGCTATCCTGTTGGCGCGGGGAACACATCTTCATATTGCGTGACGCTGCCGATGA  
ACGGGTTATCCCCGCTGGCGGGGAACACTCTTATCAGCTAACATTCCAGA  
ACTCGTCCGGTTATCCCTGCTGGCGGGGAACACTATAATATGAATTAATTTTG  
CGCATAACCTGCGGTTATCCCGCTGGCGGGGAACACGCAGCTAGCGACGAA  
TTAAAACCGAACTCACCGGTTATCCCGCTGGCGGGGAACACTGCCAGTGACTA  
CAGAAGCGTCTATCGGGCGGTTATCCCGCTGGCGGGGAACACACCCGATAA  
ACAACCGCATAGCCTTTCGTTCGATTATCCCTGCTGGCGGGGAACACTGGCT  
CAATAACCGTCAAATAGCGTAAGCTGGGGTTATCCCGCTGGCGGGGAACAC  
TATTCGCCTCGGACTGACGTCACCGTCAACGTTATCCCGCTGGCGGGGAACAC  
AACACGTTCGTTTCGGACTGCCGGTTAGACCAGCGTCACGGTTATCCCGCTGGCG  
GGGAACACATCGAATCGAAACCCCCAGCCACAGAAATAATCGGTTATCCCGCTG  
GCGGGGAACACATCGAATCGAAACCCCCAGCCACAGAAATAATCGGTTATCCCGCTG  
GCTGGCGGGGAACACGCTCATGTCAAACGCCCATAGCGTTCGGCATCGGTTAT  
CCCCGCTAGCGGGGAACACCAATCGCCAGCCTCGGAAATATCCCATCTCCGCGGT  
TTATCCCGCTGGCGGGGAACACAGGAACTAAACAGCCTGACCGTTGAGGGATCTG  
CGGTTATCCCGCTGGCGGGGAACACACCGGAAATCTTTTTCCTGTTCC  
TGTTCGGTTATCCCGCTGGCGGGGAACACGGGCACTATGAACGGATCGGCGCT  
GATGCCGGCGGTTATCCCGCTGGCGGGGAACACGGTAAAGCCACACCATTTT  
TATTGACCTCGCCGGTTATCCCGCTGGCGGGGAACACACTAGGAGGCGTAATGA  
ATACTACGTATCAAACGTTATCCCGCTGGCGGGGAACACGGTGGGGCCTCA  
AATAAATTCGAGCGTGGAGCGGTTATCCCGCTGGCGGGGAACACACTCGACGTG  
GACGAGGAGTACTCAACCGTGGCGGTTATCCCGCTGGCGGGGAACACAGCG  
CCACATGGCCCACCGGCACACCCGATCCGGTTATCCCGCTGGCGGGGAACAC  
AAATGACCAAATCAGAAATCTCACAAAGCCGGTTATCCCGCTGGCGGGGAACAC  
ACACGATGTAACTGAAGCGAAATATTTGGGATAACGTTATCCCGCTGGCGCG  
GGGAACAC

>T27/ CRISPR 2

CGTTATCCCCGCTGGCGCGGGAAACACGGCACTATGAACGGATCGGCGCTGATGCCG  
GCAGTTATCCCCGCTGGCGCGGGAAACACGGTAAAGCCACACCATTTTATTGACCT  
CGCCGGTTATCCCCGCTGGCGCGGGAAACACACTAGGAGGCGTAATGAAAACTACGTA  
TCAAAACGTTATCCCGCTGGCGGGGAACACGGTGGGGCCTCAAATAATTCGA

GCGCTGGAGCGGTTATCCCCGTGGCGGGGAACACTCGACGTGGACGAGGAGTT  
ACTCAACCCTGCGGTTATCCCCGTGGCGGGGAACACAGCGCCACATGGCCC  
ACCGGCACCACCCGATCCGGTTATCCCCGTGGCGGGGAACACACTGAAAACGCA  
TGGAAATCCGGTATAAACAGTCGGTTATCCCCGTGGCGGGGAACACAGATGTAA  
CTGATAGCGAAATATATTGGGATAACCGGTTATCCCCGTGGCGGGGAACACGAA  
ACGTAAACAGGGTAAGATAACAACCTGCACGGTTATCCCCGTGGCGGGGAACA  
CTGTAAAGGGTGGCTGGAAGGGATCGCAAACGGTTATCCCCGTGGCGGGGG  
AACAC

>T36/ CRISPR 2  
CGTTATCCCCTGGCGGGAACCAATCGAATCGAAACCCCAGCCACAGAAATAATTG  
AGTATCCCCTGGCGGGACACGCTCATGTCAAACGCCATCAGCGTCCGGCATCG  
GTTATCCCCTAGCGCGGGACACAATGCCAGCCTCGGAAATATTCCATCCTCCG  
GTTATCCCCCTGGCGGGGACACAGGAACCTAAACAGCCTGACCGTTGAGGATCTG  
CGGTTATCCCCCTGGCGGGGAACACACCGGACAAATCTTTTCTGTTCTG  
TTCGGTTATCCCCCTGGCGGGGAACACGGCGGTCCCCGGCTCAATACCGCG  
CTGACGCGGTTATCCCCCTGGCGGGGAACACTTGAGGTGCCGCTGCCGTTCT  
TCTGTTTTCGGTTATCCCCCTGGCGGGGAACACGGGCACTATGAACGGATCG  
GCGCTGATGCCGGCGGTTATCCCCCTGGCGGGGAACACGGTAAAGCACACCA  
TTTTTATTGACCTCGCCGGTTATCCCCCTGGCGGGGAACACACTAGGAGGCGT  
AATGAATACTACGTATCAAAACGGTTATCCCCCTGGCGGGGAACAC

>T02/ CRISPR 2  
CGTATCCCCTGGCGGGAACCCCTAGGAGGCGTAATGAATACTACGTATCAAAAC  
TTTCCCCTGGCGCGGGACACGTGGTGGCCTCAAATAATTGAGCGCTGGAGCGT  
ATCCCCCTGGCGGGGAACACTCGACGTGGAGGAGTACTCAACCGCTGCCG  
GTTATCCCCCTGGCGGGGAACACAGGCCACATGGCCACCGGACCCGAT  
CCGGTTATCCCCCTGGCGGGGAACACAAATGACCAAATCAGAAATCTTCACCA  
AAGCCCGGTTATCCCCCTGGCGGGGAACACTAATGCCACAGTAAGTCAAACG  
GTTCTGGAACGGTTATCCCCCTGGCGGGGAACACTTGGGCGTCGGTTTTCA  
GGTTAGGTCCGGCGGTTATCCCCCTGGCGGGGAACACGAAACGTAAACAGGG  
TAAGATAACTCTGCACGGTTATCCCCCTGGCGGGGAACACTGTAAAGGGT  
GTCTGGAAGGGATCGCAAACGGTTATCCCCCTGGCGGGGAACAC

>T03/ CRISPR 2  
CGGTTATCCCCCTGGCGGGAACACTCGACGTGGACGAGGAGTTACTCAACCGCT  
GCCGTTATCCCCTGGCGGGGAACACAGCGCCACATGGCCCACCGGACCC  
ATCCGGTTATCCCCCTGGCGGGGAACACAAATGACCAAATCAGAAATCTTCAC  
CAAAGCCCGGTTATCCCCCTGGCGGGGAACACTAATGCCACAGTAAGTCAA  
CGGTTCTGGAACGGTTATCCCCCTGGCGGGGAACACAGAGTCCGGGGTTATAT  
AGTTATTAATGAGCCGGTTATCCCCCTGGCGGGGAACACTTGGCGTCGGTT  
TTTCAGGTTAGGTCCGGCGTTATCCCCCTGGCGGGGAACACTCAACTGTC  
AGTCGTGTTAGCCAGTAATTCCGGTTATCCCCCTGGCGGGGAACACCTGAA  
AACGCATGGAATCCGGTATAAACAGTCGGTTATCCCCCTGGCGGGGAACACG  
ATGTAACTGATAGCGAAATATATTGGGATAACGGTTATCCCCCTGGCGGGGAACACG  
CACGAAACGTAAACAGGGTAAGATAACAACCTGCACGGTTATCCCCCTGGCGCG  
GGAACAC

>T06/ CRISPR 2

CGGTTATCCCCGCTGGCGGGGAACACCTAGGAGGCTAATGAATACTACGTTAC  
AAAACGGTTATCCCCGCTGGCGGGGAACACCGTGGTGGCCTCAAATAAATTCGAG  
CGCTGGAGCGGTTATCCCCGCTGGCGGGGAACACTCGACGTGGACGAGGAGTTA  
CTCAACCCGCTGCCGTTATCCCCGCTGGCGGGGAACACAGCGCCCACATGGCCC  
CCGGCACACCACCCGATCCGGTTATCCCCGCTGGCGGGGAACACAATGACCAAAAT  
CAGAAATCTTCACCAAAGCCGGTTATCCCCGCTGGCGGGGAACACTAATGGCC  
ACAGTAAGTCAAACGGTTCTGGACGGTTATCCCCGCTGGCGGGGAACACTCAA  
CTGTCAGTTCGTCGTAGCCAGTAATTCCGGTTATCCCCGCTGGCGGGGAACAC  
CTGAAAACGCATGGAATCCGGTATAACAGTCCCGGTTATCCCCGCTGGCGGGGA  
ACACGATGTAACTGATAGCGAAATATTGGGATAACGGTTATCCCCGCTGGCGC  
GGGAACACGAAACGTAAAACAGGGTAAGATACAACTCTGCACGGTTATCCCCGCTGG  
CGCGGGGAACACTGTAAAGGGTGGTCTGGAGGGGATCGGCAAACGGTTATCCCCG  
CTGGCGGGGAACAC

>T10/ CRISPR 2

CGGTTATCCCCGCTGGCGGGGAACACATCGAATCGAAACCCCAGCCACAGAAAT  
AATTCGGTTATCCCCGCTGGCGGGGAACACAGCTCATGTCAAACGCCCATAGCGT  
TCCGGCATCGGTTATCCCCGTAGCGCGGGAAACACAATCGCCAGCCTGGAAATA  
TTCCCATCCTCCGCGGTTATCCCCGCTGGCGCGGGAAACACAGGAACTAAACAGCC  
GACCCGTTGAGGATCTGCGGTTATCCCCGCTGGCGCGGGAAACACACCGGACAAATC  
TTTTTTCTGTTCTGTTATCCCCGCTGGCGCGGGAAACACAGGGACTA  
TGAACGGATCGCGCTGATGCCGGCGGTTATCCCCGCTGGCGCGGGAAACACGGTA  
AAGCCACACCATTTTATTGACCTCGCCGGTTATCCCCGCTGGCGCGGGAAACAC  
CTAGGAGGCGTAATGAATAACTACGTATCAAACGGTTATCCCCGCTGGCGCGGGAA  
ACACGTGGTGGCCTCAAAAATTGAGCGCTGGAGCGGGTTATCCCCGCTGGCGC  
GGGAACACGAAACGTAAAACAGGGTAAGATACAACTCTGCACGGTTATCCCCGCTGG  
CGCGGGGAACACTGTAAAGGGTGGTCTGGAGGGGATCGGCAAACGGTTATCCCCG  
CTGGCGGGGAACAC